

## OVERVIEW

# MBE の 研究 と 応 用

柳 山 倭

富士通研究所厚木研究所 〒243-01 厚木市小野 1667

(1984 年 7 月 27 日 受理)

## Molecular Beam Epitaxy (MBE) for Research and Device Fabrication

Osamu RYUZAN

FUJITSU LABORATORIES LTD. ATSUGI  
1677, Ono Atsugi-shi 243-01,

(Received July 27, 1984)

MBE is no longer a crystal growth technique in laboratories but has recently become a common production technology. GaAs devices, especially HEMT etc. have played an important role in making MBE technique thus popular. The progress of MBE technique also caused the progress of academic research in crystal growth and surface physics. In this paper, a couple of topics of the researches and developments of MBE is described. The present status of the device applications of it is also discussed.

### 1. MBE 概観

10 年前には最高の真空中のもと結晶基板に極めて丁寧な蒸着を行なうことによって薄膜結晶をエピタキシャル成長させることができることが MBE (Molecular Beam Epitaxy) であるという認識があった。従って結晶成長の機構や表面構造を研究する上で MBE は最適のプロセス技術であると見做された。また数 10Å の薄膜をいくつも重ねるような構造を得るためにこそ MBE の高度な技術が真価を発揮するものと考えられてきた。このように MBE は本来真空、薄膜、表面、結晶成長といった学問分野の所産である。

1974 年頃から事情が少し変ったようである。半導体では光デバイス、マイクロ波デバイス等百花爛漫の状態で液相エピタキシャル法や気相エピタキシャル法がその美を競うような様相であった。このような中へかけだしの MBE が登場していった。仕掛け人はベル研の Cho である。大抵の場合 MBE は LPE, VPE に比較して遜色がないという結論にはなったが、従来デバイスを MBE 技術によって製造するという改革は見られなかった。MBE 技術の壳込みはこの段階で大成功をおさめたとは

言い難いが、大きな収穫は MBE 技術普及の兆しが得られたことであろう。

MBE 研究の本命は何といっても原子層オーダーのエピタキシャル成長による新材料或いは新構造の研究である。これはまた新デバイスの誕生につながっていく。漸くその時期が到来した。

1979 年ベル研に生れた変調ドープ構造の二次元電子ガス特性研究は高電子移動度トランジスタを産みだす結果になり堰をきったように到るところで MBE 研究が流行し始めた。研究がデバイスを産みデバイスがまた研究を刺激して MBE 黄金時代が出現した。Table 1 は現在までに MBE の研究が発表されている材料のすべてである。

MBE が関与する材料は化合物半導体が大半である。とりわけ III, V 族化合物及びその混晶が圧倒的に多いのは高速デバイス、光デバイスへの応用を意図する傾向の現れである。この理由から GaAs, AlGaAs は最もよく研究されている材料である。液相エピタキシャルでは馴染みの深い GaInAsP は MBE では特に有利な材料ではない。何故ならば蒸気圧の高い As と P の分圧比を制御することが容易でないからである。シリコンは化合

**Table 1 MBE grown Materials.** GaAs, Al-GaAs and Si have been most extensively studied among them.

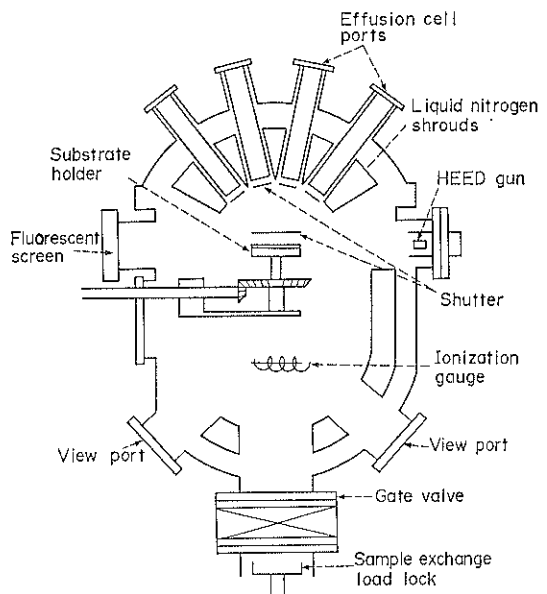
III-V			IV	II-VI	IV-VI
GaP	AlGaN	AlGaInP	Si	ZnSe	PbTe
AlAs	AlInP	GaInAsP	Ge	CdS	PbSnTe
AlSb	GaAsP	AlGaInAs	Sn	ZnTe	PbSnSe
GaAs	GaInP	AlGaInSb		CdSe	
InP	AlGaAs			CdTe	
GaSb	InGaAs			CdHgTe	
InAs	GaSbAs			CuInSe	
InSb					

物と異り確立した技術と卓越した品質が既に保証されている材料であるために単に MBE で割込むことは伸々むつかしい事情がある。その他 II-VI, IV-VI 化合物も含めて今や MBE 技術は認知されてきている。しかも MBE は既存のデバイスの製作に利用されている液相エピタキシャル或は気相エピタキシャル技術を单におきかえるというのではなく MBE の正に本質を發揮するような結晶成長技術としと定着していきそうに思われる。

最近では MBE 研究が半導体のみならず NiSi<sub>2</sub>, CoSi<sub>2</sub> のような金属性材料や CaF<sub>2</sub> のような絶縁性材料にまで波及してきていることも注目に値する。

## 2. MBE 研究における最近の話題

最近の際立った研究成果を述べる前に MBE 技術の要点だけ触れておきたい。Fig. 1 は MBE 装置の心臓部成長室の概略図である。室はイオンポンプ、ソープションポンプを駆使して  $10^{-11}$  Torr まで高真空中に排氣できる。基板は基板ホルダーにホールドされて基板温度が制御される。数個の分子線源は夫々ソースセルにチャージされて夫々必要な温度に制御される。セルは元来 Knudsen セルが用いられていたがビーム強度の増大をはかるためにかなり変形されたものになってきている。ビームはセルオルフィスから射出され基板面に衝突する。夫々のビームの断続はシャッターの操作で行なわれる。基板にエピタキシャル成長する結晶薄膜の均一性(組成、厚さ、ドーピングレベル)を良くするために基板は回転できる機構になっている。大抵の場合反射形高エネルギー電子線回折 (RHEED) 装置が成長室に付加されていてエピタキシャル膜の表面構造を in-situ にモニターすることができる。サンプル交換のロードロック機構は成長室の真空を破ることなく基板を交換できるのでスループットの改善は勿論、エピタキシャル結晶の高品質化をもたらした。



**Fig. 1 MBE growth chamber.** The basic components and layout are schematically shown.

### 2.1 GaAs MBE 成長

GaAs の成長機構については Joyce<sup>2)</sup>, Foxon<sup>1)</sup> の優れた仕事がある。As ビームのソースとして固体 As の昇華を利用する場合は As<sub>4</sub> が得られるが、GaAs 結晶の加熱を利用する場合には As<sub>2</sub> が得られる。Ga との相互作用の違いによって As<sub>4</sub> と As<sub>2</sub> では成長過程が異ってくる。

(100) 面に対する As<sub>2</sub> 及び Ga ビームのエピタキシャル成長の場合に基板温度が 600 K 以上では desorb す As<sub>2</sub> の分子の強度が温度にかかわらず一定であることと、As<sub>2</sub> の付着係数が基板温度 600 K 以上では直線的に増加して 1 に近づくことからエピタキシャル成長モデルとして Fig. 2(a) が得られた。この場合 As<sub>2</sub> 分子は Ga 原子の上に化学吸着されて分解する。過剰の As<sub>2</sub> は再蒸発して stoichiometric GaAs が成長することになる。

一方 As<sub>4</sub> と Ga ビームによるエピタキシャル成長の場合表面滞在時間の基板温度依存性から離脱エネルギー 0.4 eV が求められた。As<sub>4</sub> の付着は Ga 原子の存在によって影響をうけるが 600 K において付着係数の Ga フラックス依存性をみると、Ga poor の条件では付着係数は零に近いが、Ga と As の到達速度が等しくなるまでは Ga ビーム強度と共に増加して更に Ga ビーム強度が大きくなると略 0.5 で一定となる。このような事実から Fig. 2(b) に示されるようなモデルが考えられ

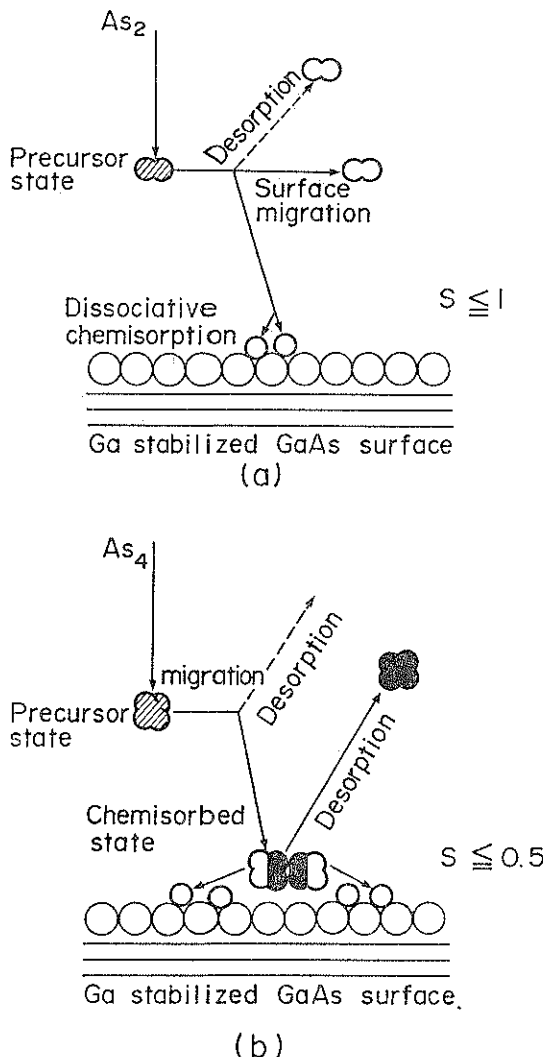


Fig. 2 A model of GaAs MBE growth<sup>11</sup>.  
 (a) growth from Ga and As,  
 (b) growth from Ga and As<sub>4</sub>,

ている。As<sub>4</sub> 分子対が最近接 Ga 原子の上に化学吸着され、As<sub>4</sub> desorption が As<sub>4</sub> の吸着に対して二次反応依存性を示す。この As<sub>4</sub> 分子対の相互作用は膜の中に多くの点欠陥をつくると考へられる。

GaAs の MBE 成長を原子層レベルで捉えこれを in-situ にモニターする技術が RHEED の研究から生れた。即ち GaAs などの MBE 成長時に RHEED パターンの強度が時間的に振動している現象について詳細な研究が行なわれた<sup>23</sup>。パターン強度の振動は成長がほぼ二元 layer by layer であること、そして僅かな凹凸はストイキオメトリーからのずれや不純物原子によって起ることがわかつてき。振動の周期は Ga-As の単原子層

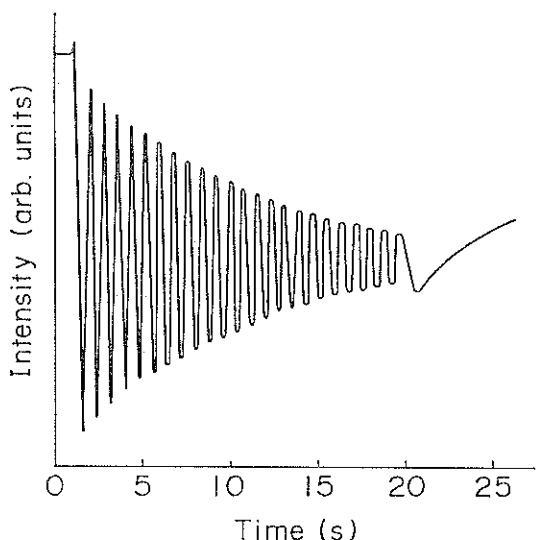


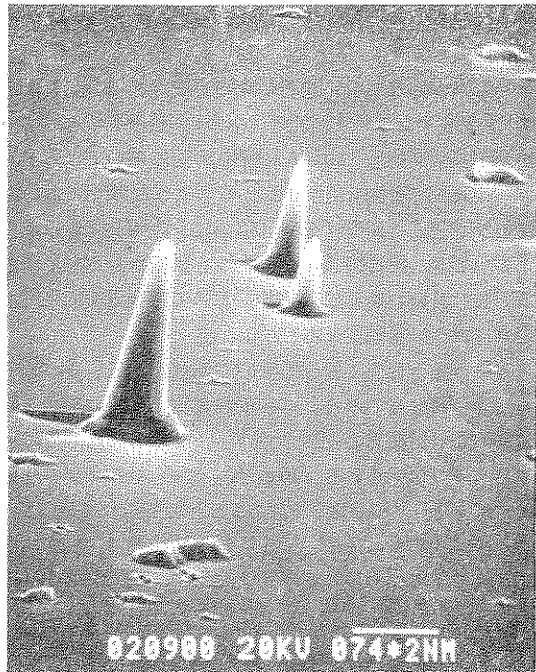
Fig. 3 Intensity oscillation of the specular beam in the RHEED pattern from a GaAs (001) surface.<sup>23</sup>

の成長に対応するものであるから、成長速度を原子層の精度でモニターすることができる意味する。この強度振動モニター手法は今後新しい研究のブレークスルーをもたらすものとなるであろう。Fig. 3 は画期的ともいえる発見の RHEED パターン強度振動の模様を示したものである。

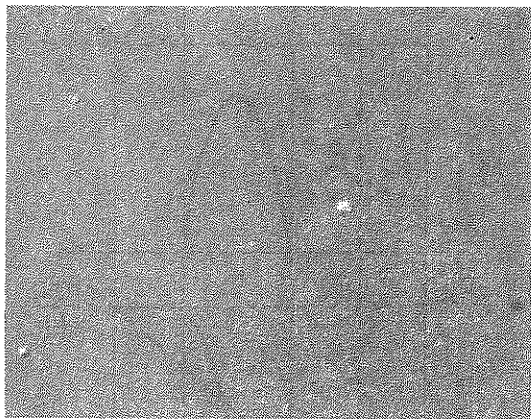
## 2.2 GaAs MBE 表面

GaAs MBE は最もよく研究され、成長技術もまたよく開発された材料である。GaAs に対しては既に高純度や高電子移動度の目標をほぼ達成して、現在では集積回路形成の目的からエピタキシャルの高均一、無欠陥の目標に専ら努力が集中されている。この段階でクローズアップしている問題がエピタキシャル表面の欠陥である。この欠陥について研究がすむと共にわかってきたことは MBE 成長に特有の欠陥が存在することである。Oval defect とか、spit と呼ばれているものがそれである。Fig. 4 は GaAs MBE にしばしば見られる Oval defect の SEM 写真を示している。これらの成因が Ga のソースセルに由来するものであるらしいことが最近にわかつてき。即ち Ga セルから飛来した Ga droplet と As が反応してできるもの或いは Ga の酸化物が核になってできるものと考えられている。Oval defect は MBE のみに存在する欠陥であるからこれの絶滅は正に MBE 技術の存亡にかかわるくらい重大問題である。

Oval defect 以外の欠陥としては基板の表面処理に関係するもので表面の汚れや傷が原因となって発生する欠



(a) SEM photograph of a GaAs (100) surface grown at high growth rate



(b) Typical Nomarsky photograph of GaAs (100) surface grown at the ordinary growth rate.

Fig. 4 Surface pictures of MBE GaAs.

陥と、基板自体にもともと存在した転位などの欠陥が原因となって発生する欠陥がある。これらは液相エピタキ

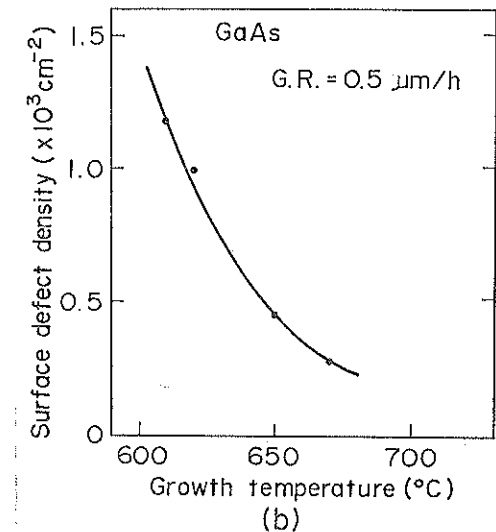
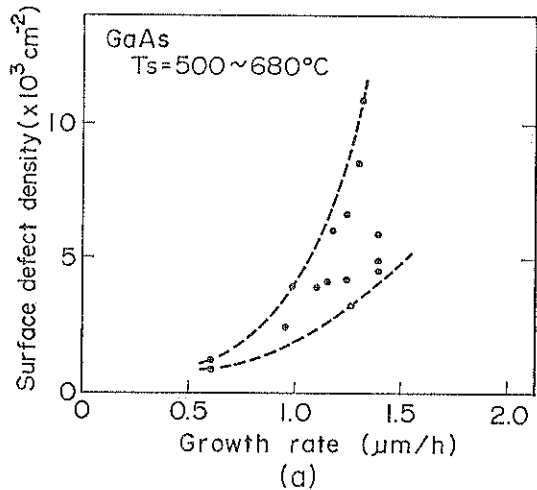


Fig. 5 (a) The relationship between surface defect density and growth rate of GaAs MBE.  
 (b) The relationship between surface defect density and growth temperature of GaAs MBE.

シャル法、気相エピタキシャル法など他の成長法においても存在する欠陥である。

Fig. 5(a) は表面欠陥密度と成長速度の関係を多くのサンプルについてプロットしたものである<sup>31</sup>。成長速度は Ga の到達速度に、従って Ga セルの温度に関係する。即ち Ga セルの温度が高くなるに従って表面欠陥密度が大きくなる傾向がみられる。Ga セルの温度をできるだけ低くしてもビーム強度が減少しない方法が切望される。

表面欠陥密度はまた基板温度（成長温度）に依存することがわかっている。(Fig. 5(b))<sup>31</sup>

### 2.3 Si MBE

Si MBE は GaAs MBE に比べると研究が少なかつたが近年著しい進歩がみられる。事実 n型のキャリア濃度が  $3 \times 10^{14} \text{ cm}^{-3}$  程度のものは容易に得られるようになり、移動度もバルク結晶と比べて遜色のない値を示すようになった。Fig. 6 は電子移動度をいろいろな不純物濃度のものに対して測定した図である<sup>4)</sup>。これからもわかる通り Si MBE でもほぼバルク結晶の値と同一のものが得られるようになった。通常の蒸発ドーピング法では表面偏析のために  $10^{18} \text{ cm}^{-3}$  以上のドーピングを得ることは困難であるが、イオンドーピング法ならば  $10^{19} \text{ cm}^{-3}$  程度は容易にドープすることができる。この方法ではまた As や B イオンビーム強度をコンピュータ制御することによって複雑なドーピングプロファイルを実現することができる。

Si MBE における転位密度は酸素と、積層欠陥密度は基板とエピタキシャル成長層との界面にみられる炭素濃度と関係があることが明らかになってきた。

### 2.4 ヘテロ接合構造と二次元電子ガス

GaAs/AlGaAs 系のヘテロ接合構造を MBE によって形成しそこに二次元電子ガスを実現したことは最近5年間における MBE の最高傑作である。二次元電子の移動度はヘテロ接合界面の良否、GaAs 層の純度を評価

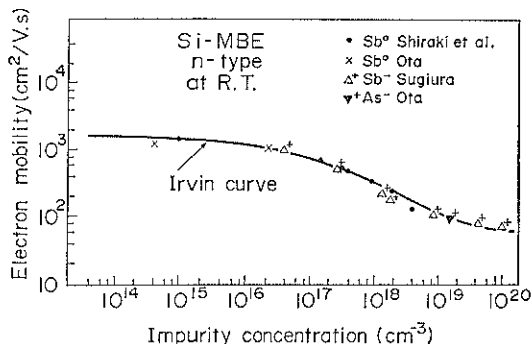


Fig. 6 Electron mobility versus donor concentration in MBE Si.<sup>4)</sup>

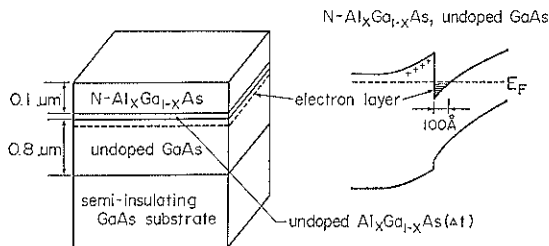


Fig. 7 GaAs/AlGaAs heterostructure and formation of 2-dim. electron gas.<sup>5)</sup>

するパロメータともなり 1981 年まで高移動度化の競争が続いた。

最も基本的な二次元電子ガスの形成法を Fig. 7 に示す<sup>5)</sup>。先ずアンドープ高純度 GaAs を積みその上に薄いアンドープ高純度 AlGaAs 層を、更に統いて Si ドープ AlGaAs 層を成長させる。このような構造においてはヘテロ接合界面の GaAs 側に電子のポテンシャルウエルができる、そこに Si ドナーから供給される電子が溜る。これがいわゆる二次元電子ガスで接合界面に平行な方向に大きい移動度を示す。

ヘテロ接合界面に対して垂直な磁場がある場合のホール測定を行なってみる。ホール伝導率は磁界の関数であるが、これを磁界の逆数でプロットすると段階的に増加するグラフが得られる (Fig. 8)。このステップの部分は理論上  $e^2/h$  の整数倍になることが知られている<sup>6)</sup>。これを利用すれば  $e^2/h$  という物理定数を  $10^{-6}$  の精度で決定できるいわゆる標準測定になることが Klitzing

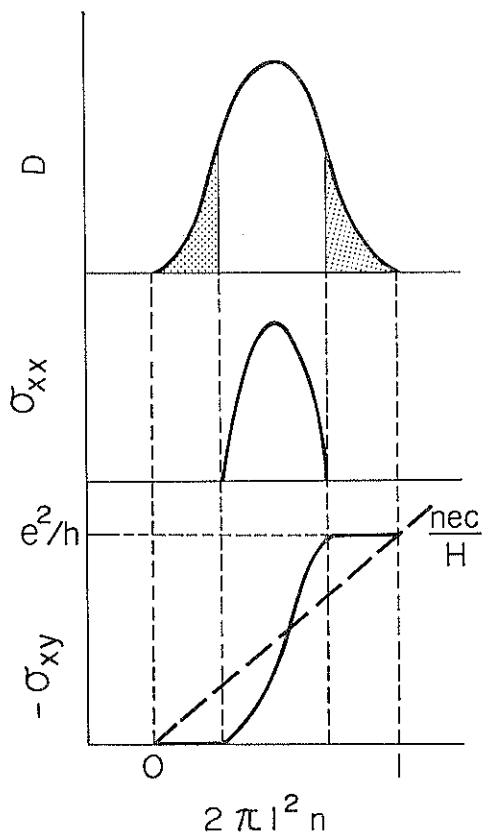


Fig. 8 Density of state (D) of Landau level, transverse magneto-conductivity ( $\sigma_{xx}$ ) and Hall conductivity ( $\sigma_{xy}$ ) are schematically shown.<sup>6)</sup>  
 $l^2 = ch/eH$

らによって指摘された。この2年後に予測もされなかつた事実が発見された。即ち300 Kの磁場のもと、0.5 Kの低温においてホール伝導率のステップが  $e^2/h$  の整数倍のみならず分数倍の値のところに相当するという事実である。これは従来の量子ホール効果とは異なるものでこの現象を説明するために新しい理論が必要になってきている。これはまさに技術の進歩が逆に学問を尻押しするパターンと言える。

### 3. MBE のデバイスへの応用

エピタキシャル成長技術の先駆である気相エピタキシャル成長や液相エピタキシャル成長に伍してMBEの実用性が認められるためにはデバイスへ実際に適用してみるという試練をうけなければならない。1974年頃よりMBEを先ずいろいろな既存のデバイスに適用する試みが始った。

#### 3.1 マイクロ波デバイス、高速デバイスへの応用

GaAs系MBEがこの分野で圧倒的に主役を演じてきている。Fig. 9にGaAs系とSi MBEのマイクロ波デバイス、高速デバイスへの応用の歴史を一覧表に示している。GaAs MBEは最初ミクサー、パラクタ、インバットダイオードというような高周波デバイスに応用されたが、中でもFETは最も馴染のあるデバイスである。MBEの特長であるエピタキシャル面の比類のない“平坦さ”は界面の“シャープさ”を改良することになりMBE装置の進歩とも相俟ってFET特性は年々記録更新されてきた。Fig. 9には低ノイズFETの高周波化の模様と雑音指数が記されている。また高出力FETの特性も併記されている。

柳らに始まるGaAs/AlGaAs界面二次元電子ガスの研究はDingleらの変調ドープされた超格子構造に発展したがこのアイデアが一つの実を結んだ。それは1980年

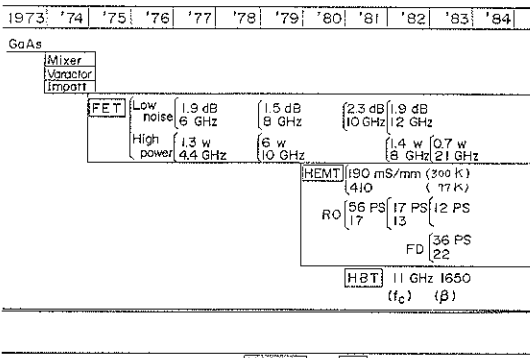


Fig. 9 Application of GaAs and Si MBE to high speed and microwave devices.

に生れたHEMT(High Electron Mobility Transistor)である<sup>7)</sup>。これはデバイスとしてはFETであるが動作の本質は従来のFETとは全く異なるもので高速デバイスの分野に少からざるインパクトを与えた。Fig. 10にHEMTの概略構造を示している。FETと同様にディプレーションモードとエンハンスマントモードの二つのタイプがあるがいずれも半絶縁性GaAsの基板の上に先ずノンドープのGaAsを、その上にSiドープn型AlGaAsを成長させることが基本である。エネルギー・バンドダイヤグラムでみられる通りSiドナーから供給される電子は、AlGaAsの表面単位を満席にして尚余剰がある場合AlGaAsとGaAsヘテロ接合界面のGaAs側にできるポテンシャルウェルに溜って二次元電子ガスを形成する。若しSiドナーからの電子が表面単位を満席にするだけの十分な数でない場合にはGaAs

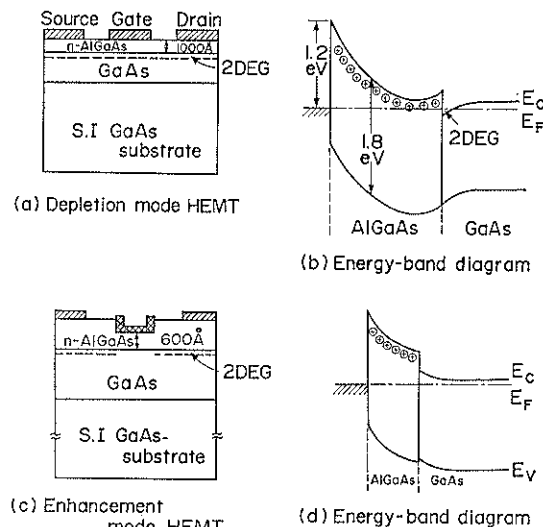


Fig. 10 HEMT structures and their energy-band diagrams.

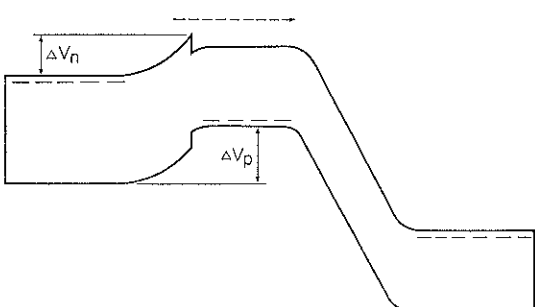


Fig. 11 Schematic energy-band diagrams of heterojunction bipolar transistors with abrupt junction.<sup>8)</sup>

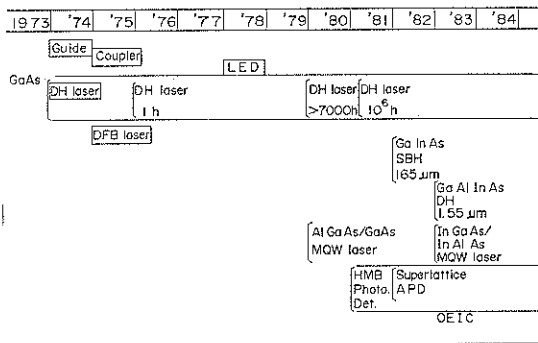
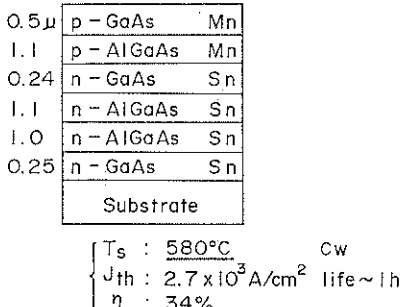


Fig. 12 Application of GaAs and related compounds MBE to optical devices.

A.Y. Cho (1976)



W.T. Tsang (1979)

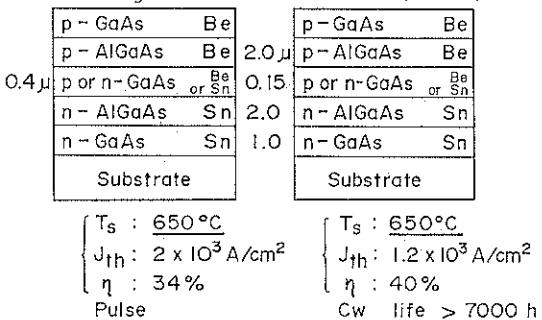


Fig. 13 DH laser structures grown by MBE  
Note that growth temperature is closely connected to device characteristics.

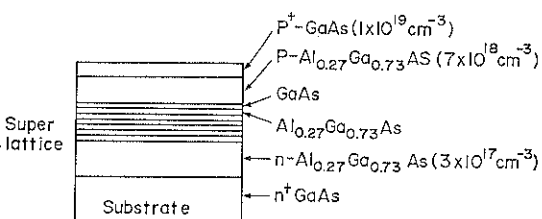


Fig. 14 Multi-quantumwell (MQW) laser structure grown by MBE.<sup>9)</sup> GaAs well width 136 Å, 14 layers AlGaAs barrier width 130 Å, 13 layers.

側からも補給されることになりヘテロ接合界面にポテンシャルウエルが生じない。前者になるか後者になるかは Si ドナー濃度一定として AlGaAs 層の厚さに依存している。即ち AlGaAs 層が厚い場合は前者でこれをディプレッションモードと呼び、薄い場合が後者でこれをエンハンスメントモードと呼ぶ。エンハンスメントモードではゲートに正のバイアス電圧を与えることによりヘテロ界面に二次元電子を誘起することができる。

HEMT は期待通り大きなトランジスタンスを示し (193 mS/mm, at 300 K, 409 mS/mm at 77 K) またエンハンスメントモードスイッチングとディプレッションモード負荷 HEMT 組成のリング発振器で 10 ps に近いスイッチングタイムが観測された。さらに 1/2 分周器では 5.5 GHz (RT), 8.9 GHz (77 K) の超高速分周器が得られている。これらはスイッチング時間 36 ps/ゲート (RT), 22 ps/ゲートに相当する。

HEMT が新生の高速デバイスとして脚光を浴びるようになって世界の数多くの研究機関においてこれの追試或は独自の研究開発が澎湃として起ってきた。この結果 MBE 技術は実用技術として急速に認知されるとともに結晶成長技術の安定した座を占めることになった意義は深い。

1981 年 HBT (Heterojunction Bipolar Transistor) が登場した。ワイドギャップエミッタのアイディアは新しくないが AlGaAs 混晶製作技術の進歩が HBT の製作を可能にした。Fig. 11 に HBT のエネルギー・バンドダイヤグラムの概略を示した。HBT はベース抵抗とエミッター接合容量を低減できるなどマイクロ波デバイスとしてまた高速ロジックへの応用が期待される。MBE 技術では傾斜組成をベース領域に作ることも容易にできるので電界による電子の加速が可能になる。AlGaAs/GaAs HBT で  $f_t \sim 11 \text{ GHz}$  が得られている<sup>8)</sup>。

Si 系の MBE では漸く 1979 年に MOSFET が、1981 年にバイポーラトランジスタが製作されるに至った。概して GaAs 系のようにデバイスへの応用は活発でない。

### 3.2 光デバイスへの応用

MBE の光デバイスへの応用は 1974 年から始まっている。Fig. 12 に示されるように光ガイドやカプラーのような受動デバイスを始め、レーザー、発光ダイオード、ホトディテクタなど広範囲に適用が試みられてきた。材料としてはやはり GaAs 系が殆んどである。光デバイスでは從来から液相エピタキシャル技術が実用技術としても定着している。これは一つには非発光センサーとなる深いトラップが少いという液相エピタキシャルの特徴に由るものであるが、事実 MBE GaAs には深いトラップが多く存在した。1976 年に試作された DH

レーザーはしきい値電流も高く寿命も1時間程度のものであった。その後真空技術の改良やロードロック機構の導入など装置の進歩と成長温度を70°C上昇させることによって室温連続発振10<sup>6</sup>時間という液相エピタキシャル

ル並のレーザーが得られるようになったのは1981年である。

AlGaAs/GaAs以外にGaInAs/InPによるSBH(Strip Buried Heterostructure)構造で1.65μmのレーザーが、またGaAlInAs/GaAsのDH構造で1.55μmのレーザーが夫々得られた。

MBE技術の応用という意味において最もエクサイティングな成果は多重量子井戸レーザー(MQW LD)の発明であろう。通常のDHレーザーの活性層に当る部分に超格子構造を導入したものである<sup>10)</sup>(Fig. 14)。MQWレーザーはしきい値電流が小さい、特性温度が高い、損失が小さいなどいろいろな特徴をもっている。超格子構造にGaInAsとAlInAsを用いたMQWレーザー(波長1.55μm)も報告されている。

光検知素子にもMBE技術の傑作が生れた。APD(Avalanche Photo Diode)の高電界領域に超格子構造を織りこんだいわば超格子APDがそれである<sup>11)</sup>(Fig. 15)。この構造によってイオン化率比は非常に大きくなり最近AlGaAs/GaAs超格子APDで10というイオン化率比が得られている。

HMB(Heterojunction Modulated Barrier)ホトディテクタはmajority carrier形であって高速応答が期待されている<sup>12)</sup>。

最近OEIC(Opto-Electronic Integrated Circuit)の研究も活発になってきているがこの分野においてMBE技術の果す役割はまた非常に大きいと思われる。Fig. 16はAlGaAs MQWレーザーとGaAs MESFETを半絶縁性GaAs基板の上にモノリシックに組合せた一例である。光出力はFETのゲートバイアスによって広い範囲にわたって制御できることが実証されている<sup>12)</sup>。

#### 4. MBE技術の進歩

MBE技術の飛躍的な進歩をもたらした要因の一つはMBE装置のめざましい向上であろう。1979年頃よりMBE装置は数社から市販されるまでになってその性能が競われた。Fig. 17は最新MBE装置のブロックダイヤグラムである。装置は基本的に三室に分れていて夫々loading室、analysis室、growth室と呼ばれる。これら三室はload lock機構によって連結されている。三室法の特長は基板のloading、排気、準備が成長最中においてもできる点である。従ってエピ成長と次のエピ成長の間の時間というのは成長の終了した基板を成長室から取りだして新しい基板を成長室に準備室から移すための時間とみなされる。このようにload lock機構を導入することによってスループットが著しく改善された。

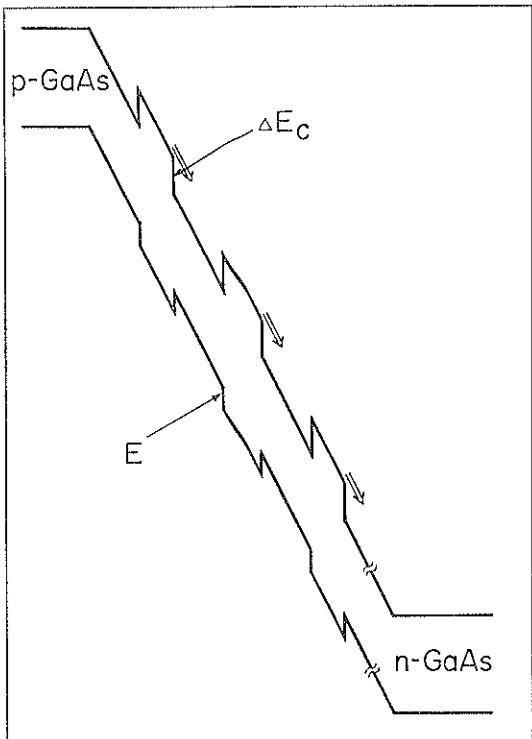


Fig. 15 Schematic energy-band diagrams of a avalanche photo diode with super lattice structure under negative bias voltage.<sup>10)</sup>

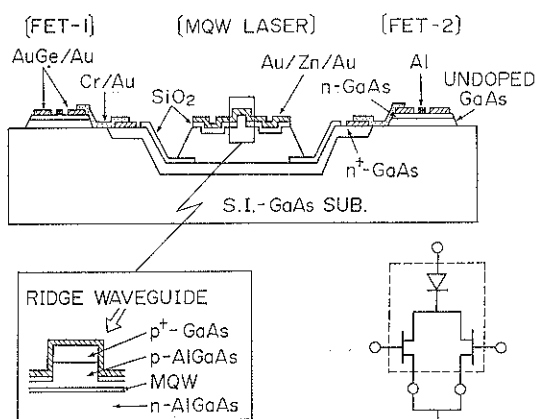


Fig. 16 MQW laser/FET monolithically integrated on semi-insulating GaAs and equivalent circuit.<sup>12)</sup>

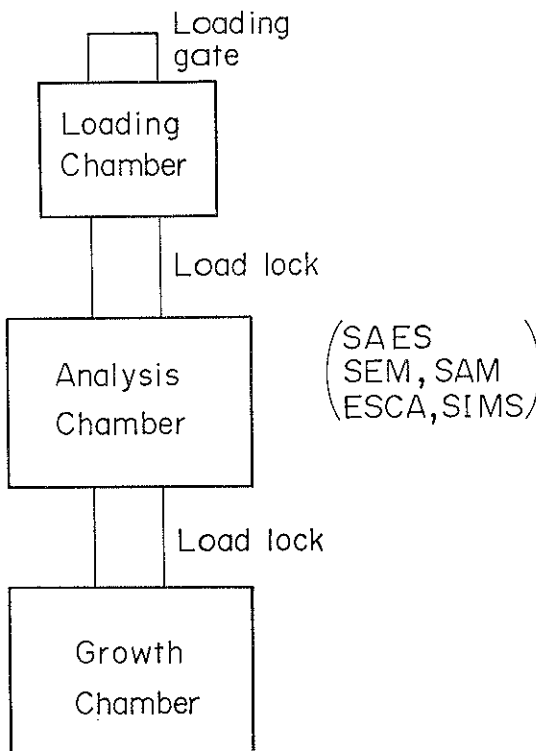


Fig. 17 Block diagram of the basic construction in recent MBE equipments.

基板ホルダーは回転方式になっていてエピタキシャル膜の均一度は最高1及至2%である。Fig. 18は実際にGaAs 2インチ基板にMBEを行なった場合のエピタキシャル膜厚の均一性が基板の回転の有無によって如何に違うかを示したものである。

成長室に水素を少量導入することによってGaAsエピタキシャル膜中の酸素のとりこみを減らし、またカーボンアクセプタを減らして高純度エピタキシャルが得られることがわかった。この方法はAlGaAs MBEに対しても有効であることが確認された。

ドーピングについて通常はエバボレーションドーピングと呼ばれるソースセルからの中性ビームに依っているが、 $10^{18} \text{ cm}^{-3}$ 以上の高濃度ドーピングレベルを得るためにには一般に困難を伴う。このような場合にGaAsで開発されたイオンドーピング法が有効であり、Si MBEでも良く利用されている。Fig. 19はイオンドーピング機構をもったSi MBE装置の模式図である<sup>13)</sup>。イオン源としては固体As<sub>2</sub>或はBF<sub>3</sub>ガスを用いてAs<sup>+</sup>或はB<sup>+</sup>ビームがつくられる。ビームはコンピュータコントロールされて複雑なドーピングプロファイルもつくることができる。ビームはマススペクトロメータによって精

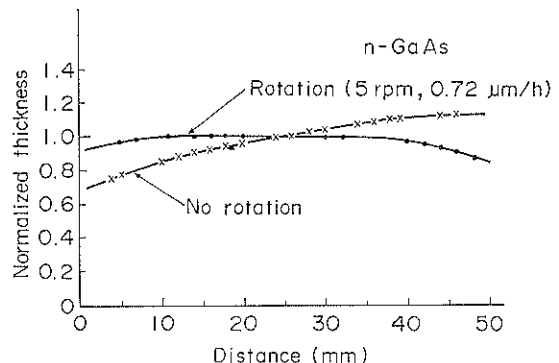


Fig. 18 Thickness uniformity of a 2 inch MBE GaAs wafer.

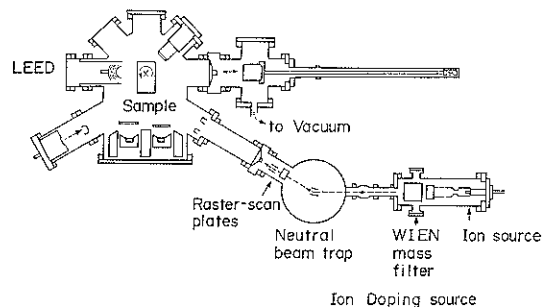


Fig. 19 A modern Si MBE equipment with an ion doping mechanism.<sup>13)</sup>

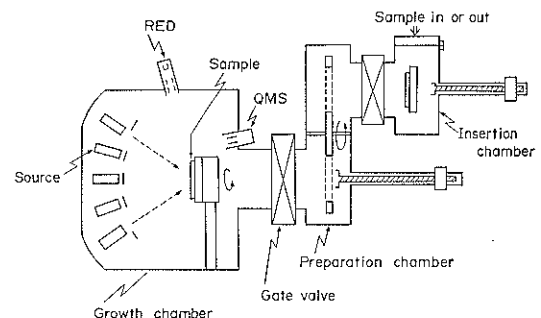


Fig. 20 A typical MBE equipment with load lock mechanism.

製されるから高純度ビームが得られる。またスキャナーによってビームを操作し選択ドーピングをすることもできる。

以上のように最近5年間にはMBE装置の著しい進歩がみられる。しかし一方装置が高度化することで高価になってきている。Mega Buck Evaporation (Buckはドルの俗語)などと言われる理由も容易に肯ける。

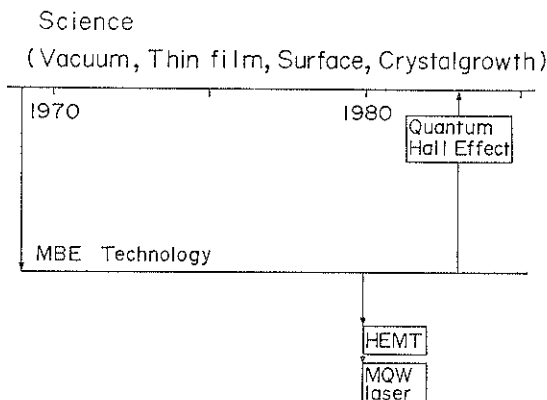


Fig. 21 Cooperative progress of science and technology.

Fig. 20 は代表的 MBE 装置の機構を示したものである。

## 5. むすび

今や MBE 装置メーカーと呼ばれるものが 5 社以上もあり、MBE の研究機関の数は数十を越えて MBE 技術は完全に普及したと言える。Fig. 21 に示されるようにともと MBE 技術は真空、薄膜、表面、結晶成長などのサイエンスから生れてきたものである。この技術がリファインされて AlGaAs/GaAs ヘテロ接合に二次元電子ガスを形成することが可能になった。この電子のトランスポートの研究から最近異常量子ホール効果が発見されて注目を集めている。しかもこの効果を解釈するためには新しい固体理論が必要になると考えられている。このように MBE 技術の進歩が母体のサイエンスに新しい課題を提供する事態になってきている。サイエンスとテクノロジーとが相俟って進歩するという好例であろう。従って MBE はまだまだ陳腐化するような技術ではない。

では今後 MBE 技術はどのように発展していくだろうか。第一には in-situ モニタリングのもとで超薄膜、多層構造、超格子構造などを原子レベルの精度で制御する付加価値の高い結晶技術として新材料、新デバイスの研究に大活躍するものと思われる。第二は MOCVD と MBE の複合化、イオンビーム技術の併用などが実用上重要な技術となり、総合的ドライプロセスの実現の方向に進むものと考えられる。

## 文 献

- 1) C. T. Foxon : J. Vac. Sci. Technol. **B1** (2) (1983) 293.
- 2) J. H. Neave, B. A. Joyce, P. J. Dobson and N. Norton : Appl. Phys. **A31** (1983) 1.
- 3) J. Saito et al. : (unpublished)
- 4) 白木靖寛 : 応用物理 52, 2 (1983) 125.
- 5) 冷木佐寿, 三村高志 : 応用物理 50, 12 (1981) 1316.
- 6) T. Ando, Y. Matsumoto, and Y. Uemura : J. Phys. Soc. Jpn **39** (1975) 279.
- 7) T. Mimura, S. Hiyamizu, T. Fujii and K. Nanbu : Jpn J. Appl. Phys. **19 L** (1980) 225.
- 8) P. M. Asbeck, D. L. Miller, W. C. Petersen and C. G. Kirkpatrick : IEEE Elec. Dev. Lett. **EDL-3**, (1982) 366.
- 9) W. T. Tsang : Appl. Phys. Lett., **38** (1981) 204.
- 10) F. Capasso, W. T. Tsang, A. L. Hutchinson and G. F. Williams : Appl. Phys. Lett., **40** (1982) 38.
- 11) C. Y. Chen, A. Y. Cho, P. A. Garbinski, C. G. Bethea and B. F. Levine : Appl. Phys. Lett., **39** (1981) 340.
- 12) T. Sanada, S. Yamakoshi, O. wada, T. Fujii, T. Sakurai and M. Sasaki : Appl. Phys. Lett., **44(3)** (1984) 325.
- 13) J. C. Bean : J. Vac. Sci. Technol., **A1(2)** (1983) 540.